

水利电力部  
交 通 部 南京水利科学研究所

# 研 究 报 告

第一号

## 水工建筑物下游局部冲刷綜合研究

水利电力出版社

水利电力部  
交通部南京水利科学研究所研究报告

第一号

**水工建筑物下游局部冲刷综合研究**

\*

**2129S642**

水利电力出版社出版(北京西路科学路二里沟)

北京市书刊出版业营业登记证字第105号

水利电力出版社印刷厂排印 新华书店发行

\*

787×1092 $\frac{1}{16}$ 开本 \* 2 $\frac{1}{4}$ 印张 \* 46千字

1959年6月北京第1版

1959年6月北京第1次印刷(0001—2,050册)

统一书号：15143·1705 定价(第10类)0.35元

本文初步結合消能扩散，在了解水工建筑物下游护坦或不冲海漫末端的最大局部单位寬流量和垂直流速分布的条件下，根据冲刷坑底漩涡水流分界面的切应力的作用，引導出局部冲刷的关系式；并綜合了40个水工模型試驗的219組冲刷資料，驗証关系式的正确性，并定出冲刷深度公式中的比例常数。此外，为了說明引導公式时某些假定的合理性，在文中先对冲刷过程、冲刷坑的形态和漩涡水流的作用加以总结，肯定了漩涡水流的分界面为造成局部冲刷的主要关键。最后又根据这个概念把关系式推广到水工建筑物上下游附近的各种类型冲刷，并分別給出公式中的比例常数。

綜合分析計算工作从1957年开始，断續进行一年左右，1958年5月完成報告的編写。参加計算整理工作者前后有毛昶熙、蒲琬华、吳家虎三同志，楊孟藩同志在开始时也曾参加部分工作，毛昶熙同志綜合并編写報告，顧訓廉同志繪圖。

## 目 录

一、綜合資料的說明.....	2
二、局部冲刷的形成.....	2
三、冲刷坑及其水流的分析.....	5
四、局部冲刷关系式的推导.....	12
五、局部冲刷深度的公式.....	17
六、局部冲刷与滑能扩散的关系.....	19
七、受跌流冲刷的块石海漫.....	24
八、冲刷深度关系式的推广.....	26
1. 平底閘上游冲刷.....	26
2. 圓堰縮流处冲刷.....	26
3. 桥墩及桥座处冲刷.....	27
4. 河湾冲刷.....	28
5. 均匀河道普遍冲刷.....	29
6. 粘性土及岩石的冲刷.....	29
九、結論.....	32
参考文献.....	33
俄文摘要.....	34

## 一、綜合資料的說明

局部冲刷为各种水工建筑物下游及其附近所存在的一般性問題。水利部曾在1955年召开水工試驗研究专业會議，把滑能防冲問題作为中心內容。由于当时的时间限制，在會議上本所只提出“閘下滑能初步綜合研究”与“輸水道出口几种滑能措施”兩篇滑能的綜合整理報告。現在繼續原报告的計劃，将本所解放以来所有各委托試驗中有关的局部冲刷資料加以綜合分析。資料內容主要为大型閘坝及水庫溢洪道等水工建筑物下游的冲刷。計有委托試驗工程35項，包括整体及断面模型試驗共40个，列成表1。在冲刷深度关系的成果图中收集了全部冲刷資料 219 点。根据資料的性質，本文的研究結果主要应适用于大型水工建筑物下游的緩流冲刷問題，即閘孔出流或坝頂溢流經過水跃或静水池、滑力齒等滑能后，抵达冲刷河床时已形成緩流情况，沒有掺气的問題，其次也可适用于波状水跃或不脱离下游水体的急流情况，同时河床土质須为沙性或无粘性的土壤。此外对于平底閘上游的冲刷、縮流工程的河底冲刷、河湾的凹岸河底冲刷等也作了分析整理；并将天然觀察的河道普遍冲刷資料加以換算整理，作为局部冲刷的特例。

## 二、局部冲刷的形成

泄水建筑物兴建后，由于其泄流宽度远較原河道縮窄，单位寬流量增加，同时由于抬高上游水位造成显著的上下游水位差，因而上游来水流經建筑物后把位能轉換为巨大的动能，集中向下游宣泄，水流湍急。虽經滑能措施，而靠近建筑物下游附近的局部单位寬流量及流速，仍将超过原有河道的正常流速或土壤的允許不冲流速，因此必将引起局部冲刷。

模型中觀察到的冲刷过程，从沿纵剖面的二元水流观点來說，可简单地描述于下：

水流一出下游固定护坦(或不致冲刷的海漫)进入冲刷河床，水流开始紧貼河床沿底向前流动。由于水流的直接作用，河床发生强烈冲刷，靠近护坦末端的河床很快就形成一冲刷坑，如图 1 (a) 所示。接着，由于河床淘刷，冲出护坦末端的主流就脱离冲刷坑的前坡而形成漩渦水流区域，并基本上改变了开始甚短時間該区坡面泥沙的运动方向。漩渦水流的末端大致与冲刷坑最深点相合，或稍在坑底后面。冲刷坑后坡面的泥沙仍然沿底向下游运动，而且后坡面逐渐变缓。同时由于主流下面边界处的漩渦水流作用，冲刷坑底逐渐向下游

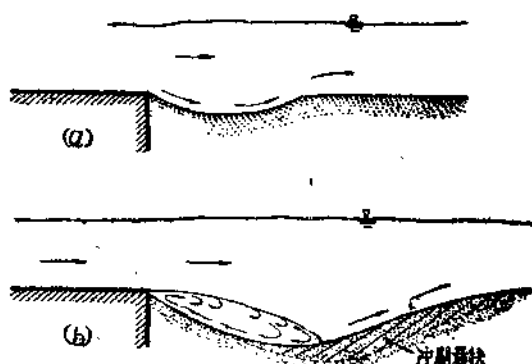


图 1 緩流冲刷過程

推移，深度也逐渐加深至冲刷平衡为止。因此前坡面上回灌水流范围随冲刷坑的变化也在加大，如图1(b)所示，这就是一直形成最大冲刷坑要延续很久的重要水流形式。至于沿前坡面(包括坑底在内)向上游推送的泥沙，则由于回灌水流的剧烈紊动现象，随时可能被吸升到主流区内而挟向下游或散落附近，随后又有坑底淘刷泥沙继续向前坡面补充。同时由于前坡面上的局部漩涡不停地扬卷泥沙，造成时冲时淤的复杂现象。泥沙的搬运则以坑底附近和后坡面为最快，如图1(b)中的影线部分，前坡面则基本上没有改变。

表1 局部冲刷试验资料的编号及其模型布置

编 号	工 程 项 目	模 型 布 置	报告编写时 间
1	淮河润河集分水闸(1952年春修工程)	1:100整体模型	1952
2	长江凤凰颈闸	1:25 半整体模型	1951
3	江苏皂河节制闸	1:50 整体模型	1951
7	淮河东淝河泄水闸	1:50 半整体模型	1952
8	淮河蒙河洼地进水闸	1:70 整体模型, 1:29断面模型	1952
9	淮河蒙河洼地退水闸	1:25 半整体模型	1952
11	长江白荡闸	1:25 整体模型	1953
12	江苏刘老涧节制闸	1:40 整体模型	1953
13	淮河霍邱城东湖闸	1:32 断面模型	1953
17	淮河方集分洪闸	1:40 整体模型	1954
18	河北青甸洼邵庄子闸	1:40 整体模型	1954
19	淮河漫滩引河闸	1:32 整体模型	1954
20	长江小孤山分洪闸	1:20 断面模型	1954
21	长江唐家港排水闸	1:25 整体模型	1954
22	长江张渡湖泄水闸	1:40 整体模型	1954
24	淮河上游沙河退水闸	1:60 整体模型	1955
26	江苏高良涧进水闸加固工程	1:50 整体模型	1955
27	长江锡湾闸	1:40 半整体模型	1955
28	淮河润河集分水闸(1955年修复工程)	1:100整体模型, 1:40断面模型	1955
29	山东华沂蓄滞闸	1:50 半整体模型	1955
31	江苏射阳河闸	1:35 断面模型; $y_r=50$ , $L_r=200$ 变态整体模型	1955
34	淮河上游宿鸭湖水库进水闸	1:50 整体模型	1957
35	淮河上游宿鸭湖水库泄洪闸	1:70 整体模型, 1:37.94断面模型	1958
36	江苏丹徒节制闸	1:50 整体模型	1957
37	淮河入海水道泄洪闸	1:34.77断面模型	1957
38	浙江安华水库泄水闸	1:50 整体模型	1957
39	江苏大梁南闸	1:50 整体模型	1958
51	淮河上游板桥水库溢洪道	1:50 整体模型	1956
52	淮河上游南湾水库溢洪道	1:70 整体模型	1956
53	浙江黄坛口泄水坝	1:40 断面模型	1958
54	山东龙门水库溢水坝	1:33.75断面模型	1953
81	东北大伙房水库围堰	变态整体模型, $y_r=60$ , $L_r=240$	1954
82	淮河皋山切岭泄道	1:100整体模型, 比降变态	1953
83	中运河桥梁	1:50 断面模型, $y_r=50$ , $L_r=300$ 变态整体模型	1958
84	七里河水电站施工导流	1:150整体模型	1958

如果射流冲出护坦末端，同样也有上述的两种流态。不过由于射流速度大，开始射出护坦时，其下形成的低压区更剧。因之把射流吸向下垂的现象也更显著，靠近护坦处河床的冲刷更深，甚至可以把护坦下基土淘空而折断护坦。但短暂时间后，射流就脱离冲刷河床，而较缓流更为显著地升高，甚至成仰角地射向水面，其下形成更大的漩涡水流。此时的最大冲刷点也就迅速地随射流跃向下游，原始的护坦末端处冲刷坑也就为沿坡面上升的泥沙所回填，其冲刷过程如图 2 所示。这里必须说明，下游水位对护坦末端射流的继续保持俯射或仰射状态有决定性作用。当然也有适应的尾水位会使仰射水流再回到俯射水流，甚至成周期性的变化。

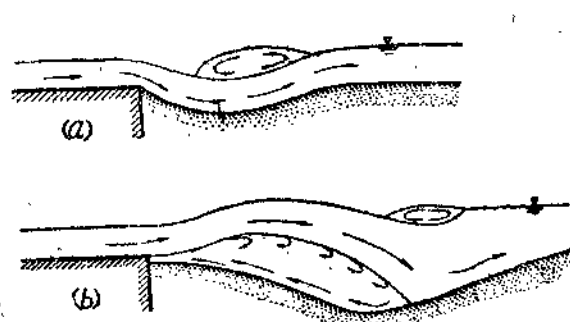
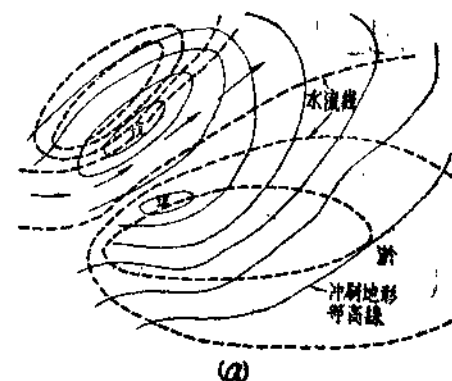


图 2 射流冲刷过程



实际水流情况，由于水流内部的紊动现象、波动压力的不平衡、冲刷河床的边界不断变化等，虽然断面上各点的平均流速分布已相当均匀，仍难保持真正的二元水流性质，而常因局部漩涡或瞬时的不平衡水流现象，造成各种复杂的冲刷地形。即使在玻璃水槽内作二元水流冲刷试验，也很难获得左右一致的冲刷。如果仔细观察冲刷试验，就会发现沿坡面排列着左右成对的回流，不断地交替着将侧边泥沙扬卷到中部，以致在玻璃水槽中的冲刷地形时常会有中间显著高于侧边的情况。因此有必要进一步从水流的平面上来说明冲刷的过程如下：

在水流的平面图上，从横向的流速分布来看，若有流势集中的主流时，两侧就经常伴随着回流水流。由于两旁回流的互相消涨，难以保持对称而会把主流吸向一侧。当主流偏向左侧时，则左侧回流被迫缩小而回速加强，进而把左侧河床泥沙掀起冲刷；右侧回流扩大而转弱，反可暂时形成淤积。同时部分泥沙则被主流挟向下游。接着左右两侧河床继续冲淤变形，回流范围逐渐改变，一直到河床土质与回

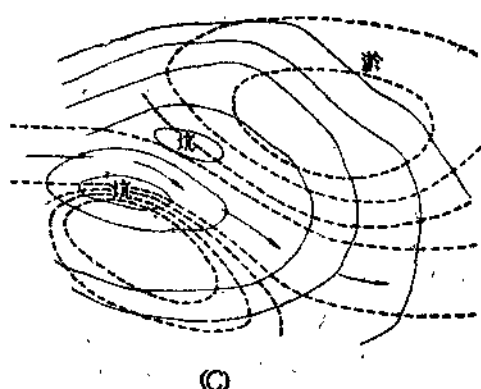
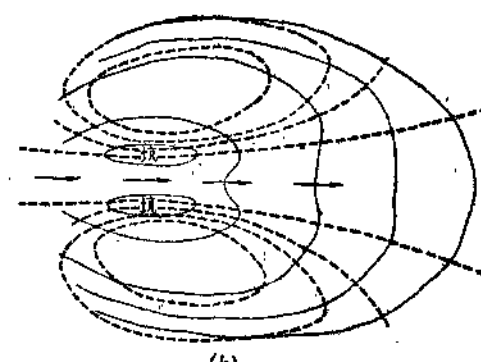


图 3 主流的冲刷过程

漩流速相适应，左右回流相平衡时，主流暂时摆到中间。但是由于漩流挟沙运动的惯性和泥沙开始起动的不易，因此左右回流的发展往往超过均势状态而迅速把主流吸向右侧，再冲刷右侧河床。如此，主流不断左右摇摆，两侧冲刷坑就更替地向前推进加深，主流摆动的幅度也逐渐减小，直至河床冲刷平衡、水流稳定时为止。河床泥沙大都也同样左右搬运而推向下游。有时冲刷严重者，两侧深坑向下游推进的结果也会合而为一。今以图3的水流情形配合相应的冲刷地形表示此种冲刷过程①。在整体模型冲刷试验中，如仔细观察有显著主流的底沙运动，就会发现这一现象（表1中编号52）。但必须指出，当两侧回流水流受河道固定边坡限制或河床土质抗冲力不同，以致河床变形不能适应回流的发展时，主流就不能形成周期性摆动而成为固定的偏流现象。至于主流不太显著和伴随的回流甚弱时，则不易清楚地观察到此种冲刷过程。

以上从垂直剖面和平面上观察到的局部冲刷的过程，实有类似之处，即主要受主流下面和侧面的回流水流影响。而实有的空间水流因闸门桥墩岸墙等固定边界或滑能工的作用，使进入冲刷河床的流速分布具有各种各样的不均匀情况，在整个水流横剖面上经常会造成一个至几个主流，它们周围都分别伴随着回流水流，综合的形成复杂的冲刷过程。

### 三、冲刷坑及其水流的分析

局部冲刷的形成过程与水流作用间的关系已在上面作了现象的描述。不过要想正确求得冲刷深度的关系，仍需进一步研究冲刷坑的形态和冲刷河床上的水流内部结构。今只将有关的水流结构及冲刷坑的资料叙述如下。

上节所观察到的冲刷现象，主要由于坑上漩涡的作用所致。这种作用力可以用水流的切应力表示。如果只考虑紊流的阻力时，根据以往学者雷诺兹(Reynolds)的研究结果，紊流的瞬时切应力( $\tau$ )与脉动分速有关：

$$\tau = -\rho v_x' v_y'$$

或者用包辛内斯克(Boussinesq)所指出的与流速梯度有关的表达式：

$$\tau = \rho \epsilon \frac{dv}{dy} = \eta \frac{dv}{dy}$$

这里我们只是借用上式说明影响冲刷的因素关系，不再作过多的数学演化。

关于水流内部的脉动流速，库明[11]曾用示波仪测定过完全水跃及淹没水跃的水流，证明主流与漩涡区的分界面上脉动流速最大，约为出口射流速度的一半。同样在冲刷坑上的水流，根据菲德曼[12]等人的测定，仍以坑底漩涡区分界面上的脉动流速最大，其纵向脉动流速也可达到护坦上出流流速的0.2倍以上。对于带有侧边回流的平面扩散水流，斯洛夫也娃[13]的实验证明紊动系数 $\epsilon$ 在主流的横剖面上变化不大；而由于流速梯度关系，紊流切应力 $\tau$ 仍以在回流水流分界面附近为最大，向主流中心递减，并

① 主流行驶于宽阔的河道中，常蜿蜒如蛇行，并左右摆动交换位置，即此道理。例如黄河，由于细泥极易冲淤，每分钟主流就要摆动位置一次。

且从出流断面起沿漩涡水流分界面到达中段， $\tau$  值就升为最大。总之由这些实验测定，已可定性地证明紊流切应力的最大值在回流或漩涡区的水流分界面附近。而且也定性地说明，沿水流方向以漩涡区中段部分的切应力为最大。因此研究冲刷坑的形态必须研究此分界区水流的性质，如图 4 的影线部分。这部分流速梯度最陡，它直接造成床面的冲刷。

分界区水流和分界面的位置问题，在冲刷河床上尚很少研究，而且缺少这方面的精确测验资料。不过根据对三元局部冲刷试验过程中的观察，分界面直接顶冲到坑底或稍下游处，逐渐使坑底加深并向下游推进，如图 5 所示。并且由于坑底及其附近的前坡面继续冲刷后，漩涡区扩展，压力可能稍增，因此水流分界面也相应地微向上移。图 5 表示分界面和冲刷坑在进展中的相对位置，不过这种改变并不很大，在射流时则比较显著。

水流分界面的曲线形式，除在脱离护坦附近稍下垂弯曲外，向下游则渐接近直线。而冲刷坑的前坡面曲线则恰好相反，除在坑底附近弯曲外，向上游至护坦末端基本上为一直线。由于脉动

现象护坦末端会被淘刷成一垂直跌差，故需要作一短截墙伸入地下。关于水流分界面顶点在冲刷过程中运动的轨迹（图 5 中圆圈点所示，基本上可以代表分界面），对于形成冲刷来讲可能更具有实际意义。根据本所局部冲刷研究试验[4]测得各种沙粒的冲刷资料绘成图 6，并把冲刷坑最深点的运动轨迹绘成图 7。

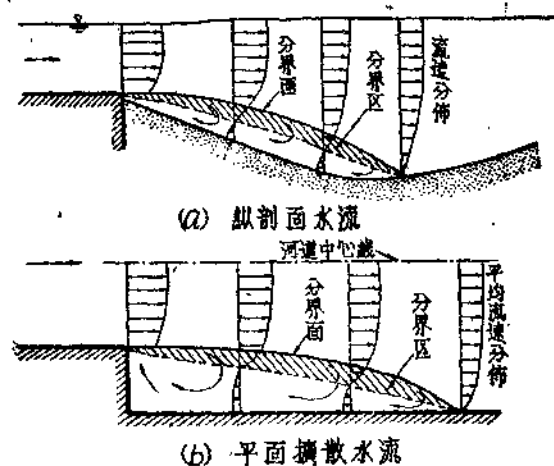


图 4

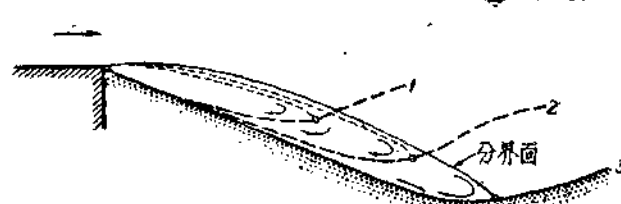


图 5 水流分界面对于冲刷坑的作用

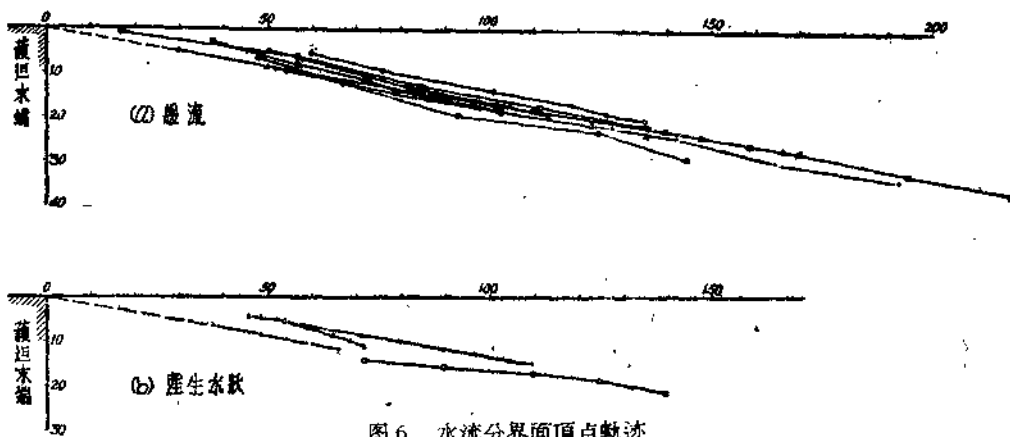


图 6 水流分界面顶点轨迹

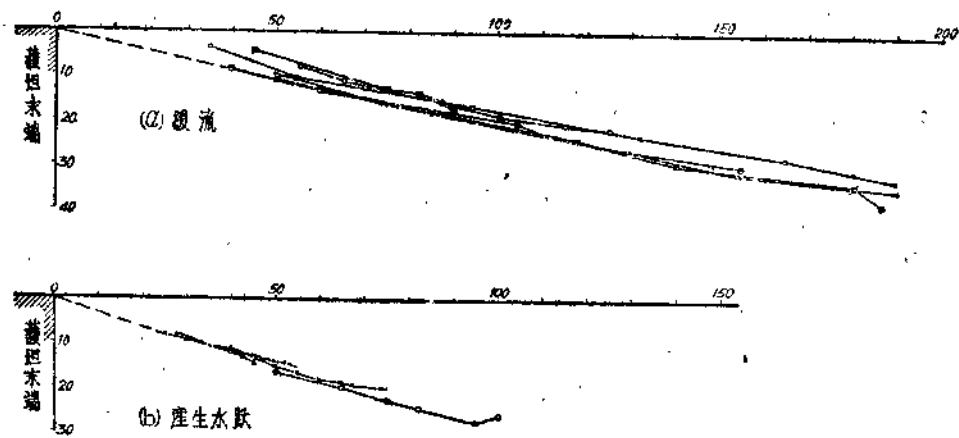


图 7 沉刷坑最深点轨迹

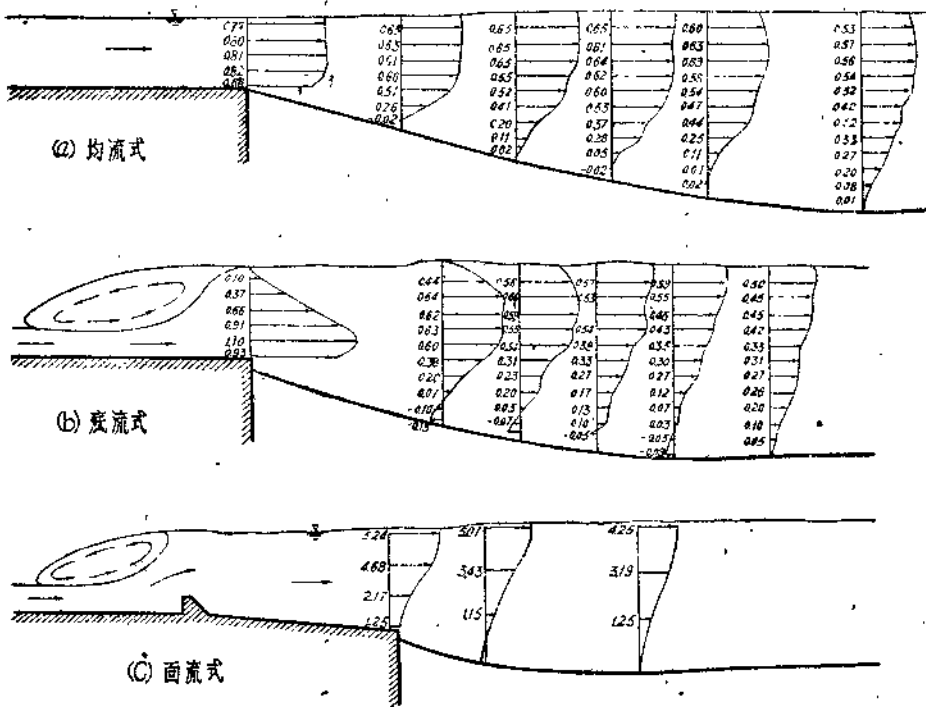


图 8 沉刷坑上水流的流速分布

比較圖 6 及圖 7 可知：(1) 沉刷坑最深點位置大致與水流分界面頂點的位置相合。出流速度大時(佛勞德數大時)，沉刷坑最深點會向分界面頂點前面移動。(2) 沉刷坑最深點及水流分界面頂點的軌跡基本上是一直線，且當護壘上產生水躍，護壘末端水流成為底流式時，線的坡度較陡，因之沉刷就深。

根據表 1 中所列試驗的沉刷資料，沉刷坑上游坡面的平均坡度均在  $1:3 \sim 1:6$  范圍內，下游坡面約在  $1:10$  左右或更平緩些。因此沉刷坑底距護壘末端的距離為  $3 \sim 6$  倍的沉刷坑深度。

除上述分界面位置影響沉刷坑的形態外，分界面水流切應力的強度以及沉刷河床的

土質等均有直接影响。关于切应力强度沿分界面的分布，在泥沙沿前坡面向上游运动的基本情况下，也可间接地从冲刷坑前坡的陡度以及分界面至坑面的影响距离相对地估计。因此从上面所述也可说明最大切应力是在漩涡区的中间部分。

如果我们继续考虑影响水流分界面位置及强度的因素，自然就会想到水流本身的性质（流量、流速及其分布等）。根据局部冲刷试验的测验资料，冲刷坑上水流各断面的流速分布转变过程如图8所示<sup>①</sup>。由于水流开始进入冲刷河床的流态不同，其流速分布的过渡形式也有不同，冲刷坑坡面当然也受不同的影响。最大流速愈靠下部，就会增大分界区水流的流速梯度而使冲刷坡面加陡，坑底加深。所以有些学者直接引用底部流速来研究泥沙的移动和冲刷问题而容易得出较规律的关系即此原因[8][14][15][16]。

虽然各种流态不同，流速过渡形式也各异，但是坑底上的流速分布却趋向一致。根据图8的实测资料整理为与平均流速 $V$ 的比值关系绘成图9，可知坑底上流速分布的基本情况。这一规律，罗欣斯基(Росинский)也同样证实过[32]。此外因为从护坦末端出流的水流为底流式时(图8(b))，其流速分布调整到坑底的面流式，转变较大，作功也大，故冲刷较深且冲刷坡面也较陡。

如果进一步从流速分布不均匀系数

$$\alpha = \frac{1}{hV^2} \int v^2 dh$$

来研究坑上水流各断面的流速分布时，根据不同流态和粒径的冲刷实测资料可整理为距护坦末端距离与坦末水深比值关系绘成图10，并知 $\alpha$ 的变化从护坦末端起到冲刷坑底均达到相差不多的数值，而且除开始一段外大致接近直线。同时在一般情况下， $\alpha$ 沿水流方向至坑底是渐增的。

关于平面扩散水流，如图4(b)所示，同样需要研究旁侧回流的分界面对河床冲刷的影响。在模型试验中经常会发现带有回流的水流，当岸坡被淘刷，回流向外伸展时，回流与主流的分界面也同时向河中心移动，回流范围扩大。这种现象正与纵剖面水流(图5)的情况相呼应。这种分界面的稍有移动的情形，也在翼墙扩散消能研究试验[5]中证实过。

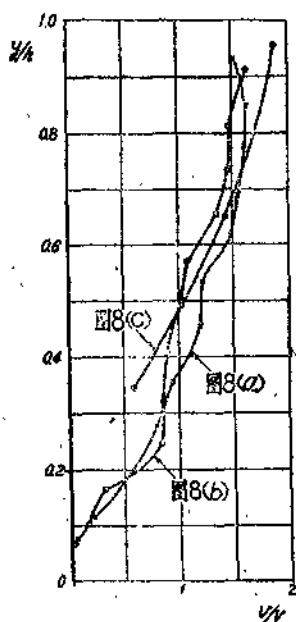


图9 冲刷坑底上的相对流速分布

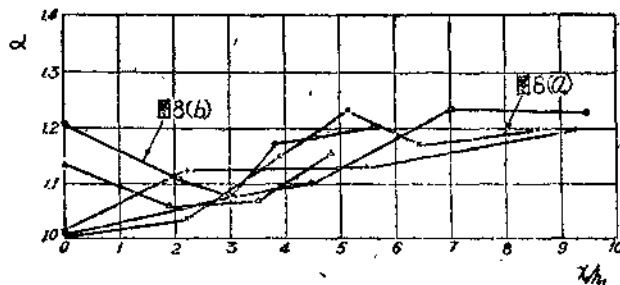


图10 沿冲刷坑前坡面的 $\alpha$ 变化

<sup>①</sup> 图8(a), (b)为冲刷研究试验资料[4]，图8(c)为表1中编号28断面模型试验资料。

平面扩散水流旁侧回流对于冲刷坑形态的影响，从上述水流的性质可知：由于回流区水流的回流速度，会更增强底部漩涡区的作用，而使冲刷坑的前坡面加陡和加深，并会使护坦末端淘刷成的垂直跌差加大。尤其当前面护坦上消能不均匀而在海漫末端形成局部微弱漩涡，或者靠岸边流速较大在护坡末端淘刷岸坡土质后而形成局部漩涡时的淘刷最陡，如图11所示冲刷地形中的A点（表1中编号8,38等）。图11(a)为因前面消能不均匀而在海漫末端仍有局部漩涡的冲刷情形。图11(b)为出海漫水流仍超过岸土允许流速

而在护坡与岸土接头处形成局部回流而淘刷岸坡。

平面扩散水流两侧的回流各近似一偏心椭圆漩涡系，其回流中心靠近分界面（参见图3(b)）。由于旁侧回流的回流作用，分界面处的水面较高，压缩水流集中，不仅影响冲刷坑的深度及陡度，而且影响冲刷坑的位置。表1所列各模型试验屡次证明，如进入冲刷河床的水流两侧带有显著的回流，冲刷坑就形成左右两个，在靠近主流与回流的分界处而不在主流的中线。甚至由于深坑靠近岸坡或由于回流速度的直接淘刷，会影响两侧岸坡的稳定。如扩散良好没有回流存在，则冲刷坑即只有居中的一个①。今举一实例（编号28），图12所示为下游水位较高时，水漫过下游翼墙顶而形成两侧回流，并延伸到护坦及海漫以外，

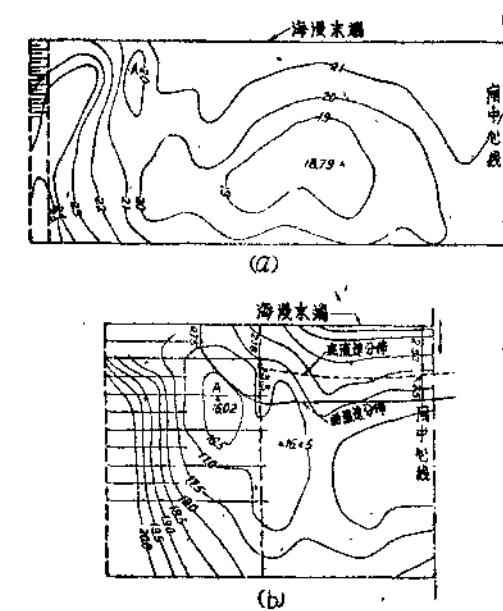


图 11 平面扩散水流局部漩涡对冲刷的作用

则冲刷地形为左右二坑。若降低尾水位，护坦以后的回流消失，冲刷坑即为中间一个，如图13所示。并知虽然尾水位降低，下游河道平均流速增大，冲刷深度并没有增加。由此可知两侧回流对冲刷深度及冲刷位置均属不利；同时更可推知个别集中开放闸门，失去翼墙的导流扩散作用所导致的危险后果。

但是这里又必须指出，从前节冲刷的形成可知冲刷严重时，主流两侧回流分界处的两个冲刷坑，其坑底也会随深度的增加而逐渐向下游推进接合为一。如图14所示为二坑最深点移动的轨迹（表1中编号3）。

上述冲刷坑形态与水流的关系，为解剖成纵剖面水流和平面扩散水流进行分析所得的关系。而实际水流系受综合性的复杂影响，以后冲刷关系的进一步推导，即根据本节所述水流分界面的冲刷现象作近似的假定而引导出便于应用的形式。

① 但有时由于消能工的关系形成两个或几个主流时，也会出现两个以上的坑。

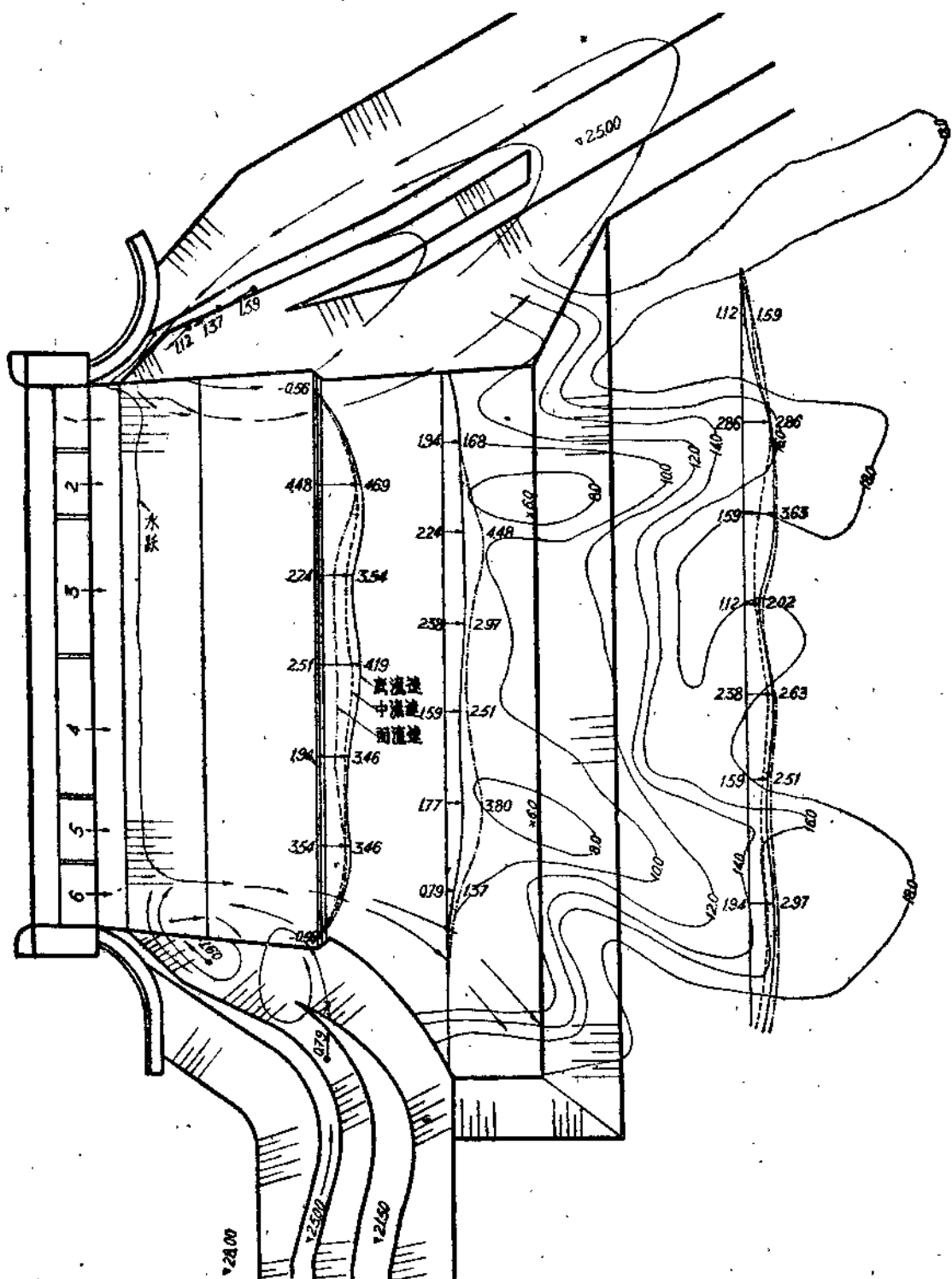


图 12 两侧回溜伸出护坦时的冲刷地形

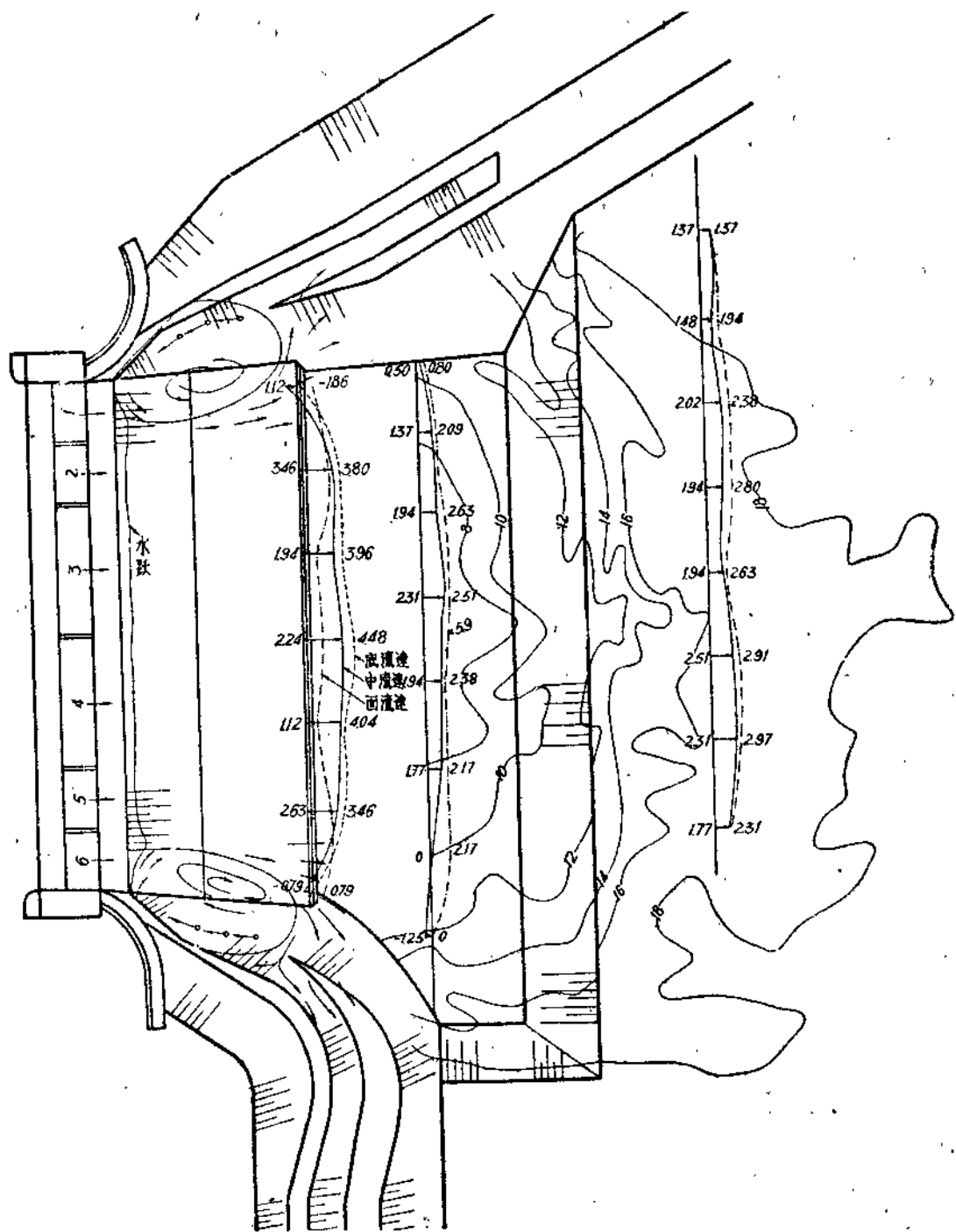


图 13 无回溜时的冲刷地形

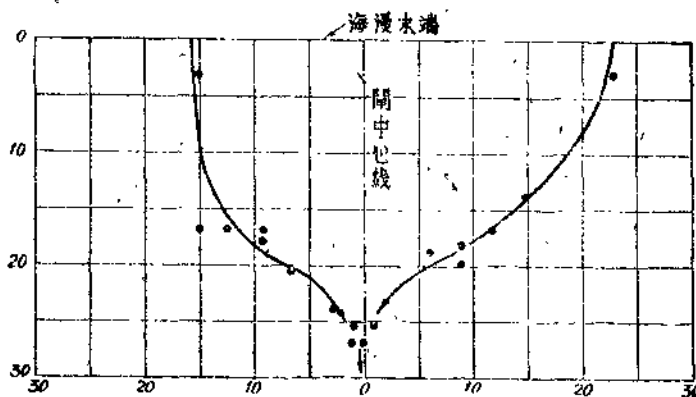


图 14 二冲刷坑最深点的轨迹

#### 四、局部冲刷关系式的推导

根据前面所述局部冲刷的形成可知，在固定护坦后面的冲刷河床上产生回漩水流①，而此漩涡与主流的分界面上紊动最剧烈，为造成冲刷坑的原因。因此我們就从这一分界面上的水流切应力观点出发来研究所形成的冲刷深度。

今以二元水流为基础，沿水平方向写水流的运动方程式推求冲刷深度关系式。如图15所示，取水流的微分段 $dx$ ，则所作用的力有（1）水流分界面上的切应力；（2）两截面以及水流分界面上沿水平方向的压力。如果考虑水流内部仍为静水压力分布时②，写沿水平方向的水流动量方程式，并略去二阶无穷小项，则得：

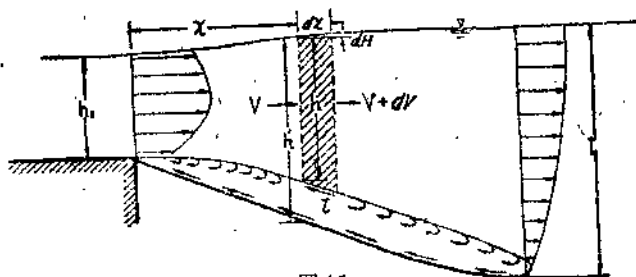


图 15

式中  $q$ ——单位宽流量；

$V$ ——断面上的平均流速；

$\tau$ ——分界面上的切应力；

$h$ ——漩涡分界面上的水流深度；

$H$ ——水面的高度；

$\alpha$ ——流速分布不均匀性的动量修正系数；

$\gamma$ ——水体的单位重；

$g$ ——重力加速度。

① 伊斯巴什(C.B. Ибаш)曾假定为水平的封闭漩涡，用能量方程式推导冲刷关系式，可参考文献[17][18]。  
② 实际上在漩涡区是不同于静水压力的。

因为  $V = q/h$ , 代入上式整理得:

$$\tau = -\frac{\gamma q^2}{g} \frac{d}{dx} \left( \frac{\alpha}{h} \right) - \gamma h \frac{dH}{dx} \quad (1)$$

在上式中, 如果能知道沿着水流的  $\alpha$  变化关系、水面变化的关系与沿水流分界面  $\tau$  的变化关系, 就可以解出水流分界面的方程式。但是那样是非常复杂的, 而且还缺乏  $\tau$  的实测资料, 因此就作一些合理的近似假定来处理上式。

关于水流分界面問題, 根据上节所述(图5、6、7所示), 我们可以假定冲刷坑的最深点与水流分界面相合, 也就是说在各冲刷阶段或各种土质冲刷平衡时, 坑底直接受水流分界面的淘刷。而且允许我们假定这些最深点的轨迹为一直线, 即:

$$h = h_1 + k_1 x \quad (2)$$

式中  $h_1$ ——护坦末端的水深;

$k_1$ ——常数。

关于沿水流方向的  $\alpha$  变化, 从上节所述(图10所示), 我们可以近似地假定为下面的线性变化:

$$\alpha = \alpha_1 + k_2 \left( \frac{x}{h_1} \right) \quad (3)$$

式中  $\alpha_1$ ——护坦末端水流断面的流速分布不均匀性动量修正系数;

$k_2$ ——常数。

将(3)式代入(1)式的  $\frac{d}{dx} \left( \frac{\alpha}{h} \right)$  项, 得:

$$\frac{d}{dx} \left( \frac{\alpha}{h} \right) = \left( \frac{k_2 h}{h_1} - \left( \alpha_1 + \frac{k_2 x}{h_1} \right) \frac{dh}{dx} \right) / h^2$$

再由(2)式  $x = (h - h_1)/k_1$ , 及  $\frac{dh}{dx} = k_1$  代入上式并简化后, 得:

$$\frac{d}{dx} \left( \frac{\alpha}{h} \right) = - (k_1 \alpha_1 - k_2) / h^2 \quad (4)$$

其次, 关于水面高度的变化  $\frac{dH}{dx}$ , 可引用水面微分方程式作近似的推求①:

$$\frac{dH}{dx} = \frac{dh'}{dx} - \frac{dz}{dx} = \frac{\frac{dz}{dx} - \frac{q^2}{C^2 h'^3}}{1 - \frac{q^2}{gh'^3}} - \frac{dz}{dx}$$

式中  $h'$ ——由水面至河床底的深度;

$C$ ——谢才系数, 代表河床面的粗糙度;

$\frac{dz}{dx} = i$ ——河床底坡。现在把上式写成:

$$\frac{dH}{dx} = \frac{i - \frac{q^2}{C^2} \left( \frac{1}{h'^3} \right)}{1 - \frac{q^2}{g} \frac{1}{h'^3}} - i = f \left( \frac{1}{h'^3} \right)$$

① 这里用的为符合本文假定的直线底坡水面微分方程式, 如果考虑为曲线的底坡时, 可参考文献[19][20]。

現在暫且不向冲刷坑底 $\psi$ 的形状或它是怎样一个函数，先将上式展开为 $\frac{1}{h}$ 項的泰勒級數：

$$f'(0) = 0$$

$$f'(0) = q^{\frac{1}{2}} \left( -\frac{i}{g} - \frac{1}{C^{\frac{1}{2}}} \right)$$

$$f''(0) = \frac{2q^{\frac{1}{2}}}{g} \left( -\frac{i}{g} - \frac{1}{C^{\frac{1}{2}}} \right)$$

則得

$$\frac{dH}{dx} = q^2 \left( -\frac{i}{g} - \frac{1}{C^2} \right) \left( \frac{1}{h^{1/2}} \right) + \frac{q^4}{g} \left( -\frac{i}{g} - \frac{1}{C^2} \right) \left( \frac{1}{h^{1/2}} \right)^2 + \dots \quad (5)$$

由于上面的級數收斂很快，因此可只取前函的一項。

将(4)及(5)式代入(1)式得:

$$\tau = \frac{\gamma q^2}{g} \left( \frac{k_1 \alpha_i - k_2}{h^2} + \left( \frac{g}{G^2} - i \right) \frac{h}{h^{'2}} \right) \quad (6)$$

我們只求冲刷坑最深点时，依照前面的假定水流分界面与坑底相合，即最大冲深  $t = h' = h$ ，而且坑底坡  $i = 0$ ，坑底的水流切应力用  $\tau_0$  表示；在冲刷平衡时，它与河床土質的临界推移力相当，并因  $\gamma = \rho g$ ，則上式就可解出最大冲刷深度的关系式为：

$$z = \frac{q}{\sqrt{\tau_0/\rho}} \sqrt{k_1 \alpha_1 - k_2 + \frac{g}{G^2}} \quad (7)$$

上式中  $\sqrt{\tau_0/\rho} = V_*$ , 为坑底的动力速度或剪切速度, 可以用冲刷河床土质的允许不冲流速或起动流速来表示, 或者直接用土质的临界推移力均可(见下节)。因此由上式可知, 影响局部冲刷深度的主要因素为单位宽流量  $q$  和土质的允许不冲流速或临界推移力  $V_*$ ; 其次为护坦末端开始进入冲刷河床的流速分布( $\alpha_1$ ), 水流分界面的路径( $k_1$ ), 沿水流的流速分布变化( $k_2$ ), 以及河床的粗糙度  $C$  等。

关于表示水流分界面的系数  $b_1$  和表示由护坦末端到冲刷坑底沿水流的流速分布变化的系数  $b_2$ ，可以根据模型试验决定。经过初步分析不多的旧有试验资料后，知道两系数均与开始进入冲刷河床的流态有密切关系。现在设  $y$  代表护坦末端垂直流速分布最大流速的位置高度（从护坦面算起），选用它与护坦末端处水深  $h_1$  的相对比值  $y/h_1$  表示垂直流速分布的流态。根据底流式、面流式以及较为均匀的三种流态，利用目前仅有的资料分析结果①，如图16及图17所示，则得：

$$k_1 = 0.213 - 0.035 \frac{y}{h_1} \quad . \quad (8)$$

$$k_2 = \frac{0.076}{\alpha_1} - \frac{y}{h_1} \quad (9)$$

① 这项资料较少，因而只能说明这三种流态的影响趋势，作为引导公式的过程。图中“○”为冲刷研究试验资料[4]，“×”为表1中编号28断面模型试验资料。